

# Sistema de Posicionamento para Placas Fotovoltaicas

*Aplicação de microcontroladores para o melhoramento da eficácia de painéis solares*

Jéssica de Souza Alves  
Graduanda em Engenharia Eletrônica  
Universidade de Brasília - UnB  
Brasília, Brasil  
14/0042784  
jessicaturunenn@gmail.com

Lorena Albernaz  
Graduanda em Engenharia Eletrônica  
Universidade de Brasília - UnB  
Brasília, Brasil  
14/0025715  
lorena.albernazz@gmail.com

**Resumo— O projeto visa criar um sistema de rotação de placas fotovoltaicas de acordo com o posicionamento do sol, também conhecido como solar tracker, sendo este controlado por um MSP 430.**

**Palavras-chave: MSP, Seguidor Solar, Fotovoltaico.**

## 1. Introdução

A energia solar é uma fonte limpa e sustentável de energia, e nos últimos tempos tem sofrido impacto devido ao seu crescimento. Dessa forma, métodos para o melhoramento de captação melhora consequentemente o aproveitamento e custos relacionados à energia desse tipo, sendo assim cada vez mais eficaz.

A energia solar fotovoltaica é a energia obtida através da conversão direta da luz solar em eletricidade, sendo a célula fotovoltaica, um dispositivo fabricado com material semicondutor, sendo essa célula fotovoltaica a unidade fundamental desse processo de conversão. A forma em que a célula fotovoltaica converte a luz é chamado de efeito fotovoltaico [1].

Uma célula solar ou célula fotovoltaica é um dispositivo elétrico de estado sólido capaz de converter a luz proveniente do sol (energia solar) diretamente em energia elétrica por intermédio do efeito fotovoltaico. [2]

Atualmente, as células fotovoltaicas apresentam eficiência de conversão da ordem de 16%. Até existem células fotovoltaicas com

eficiências de até 28%, fabricadas de arseneto de gálio, mas o seu alto custo limita a produção dessas células solares para o uso da indústria espacial. [3]

Uma boa maneira melhorar o rendimento de placas de captação de energia fotovoltaica, é criando dispositivos, que consideram o movimento do sol como um fator real, e fazem com que as placas solares sigam a direção em que a incidência solar se torna maior.

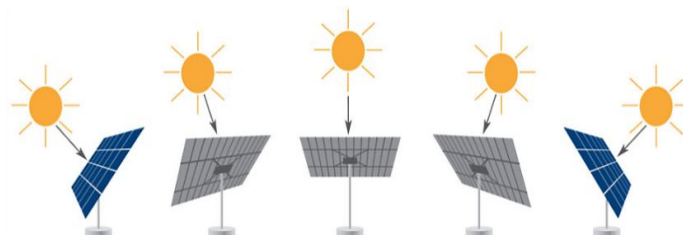


Figura 1 - Funcionamento simplificado de um seguidor solar

Seguidores Solares atuam na movimentação de placas fotovoltaicas adequando suas posições para o sentido de maior incidência solar de modo a otimizar a produção de energia da placa.

Sistemas com seguidores solares aumentam em torno de 30% a produção de energia quando comparados à sistemas fixos. Isso ocorre devido ao aumento da exposição direta aos raios solares. [4]

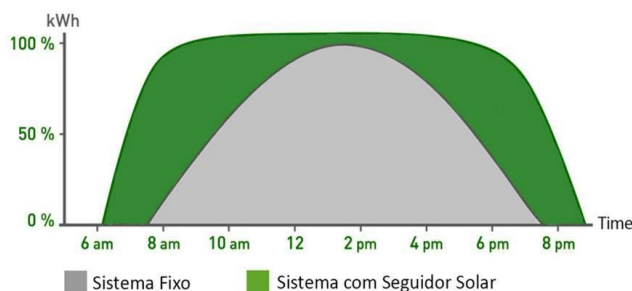


Figura 2 - Gráfico comparativo entre os sistemas fotovoltaicos fixos e com seguidor solar

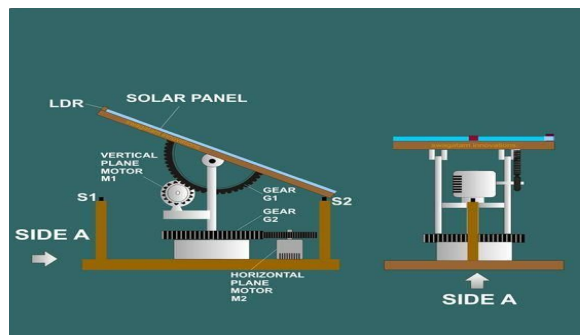


Figura 3 - Possível mecanismo para um sistema de movimentação de um painel solar com dois eixos [5]

## 1.2. Justificativa

A energia solar por fotovoltaica tem custos relativamente altos para a sua implementação, dessa forma, a fim de ter um maior aproveitamento da energia disponível nas placas fotovoltaicas e colocar a energia fotovoltaica viável economicamente, coloca-se um dispositivo a fim de aumentar a eficiência das placas.

Dessa forma, a escolha do projeto foi motivada pela constante necessidade da otimização da produção de energia, deixando a mais eficiente, e de modo a torná-la mais acessível ao consumidor. Sendo que, produtos similares ao funcionamento do projeto escolhido, são encontrados com valores elevados vistos comercialmente.

## 1.3 Objetivos

Aplicar os conhecimentos da disciplina de Microcontroladores e Microprocessadores para fazer um protótipo de um seguidor solar com uma

implementação mais simples e eficaz do que as que atualmente existem.

## 1.4 Requisitos

- Projetar um circuito que controla os eixos de rotação em bases de placas fotovoltaicas;
- Monitorar com eficácia dados de sensores de luminosidade e sensores de irradiação solar de forma com que a placa gere mais energia;
- Rotacionar a placa fotovoltaica de forma otimizada de acordo com os dados obtidos pelos sensores

## 1.5 Benefícios

Um seguidor solar torna o custo da produção de energia de origem fotovoltaica mais barato pois aumenta a exposição da placa à raios solares diretamente aumentando a taxa de irradiação solar local.

Além disso, o protótipo visa ter um custo mais atrativo do que os disponíveis no mercado, beneficiando a sociedade e aumentando o acesso à energia limpa.

## 2. Desenvolvimento

### 2.1 Descrição de Hardware

O Hardware do projeto se dará de forma geral por uma placa microcontroladora que irá controlar dois motores (cada um em um eixo), a partir de dados de luminosidade coletado por sensores.

Serão utilizados quatro sensores LDR's (Light Dependent Resistor). Os sensores serão utilizados para o posicionamento das placas, de forma que ao fazerem as coletas de luminosidade do ambiente, o software irá comparar os dados dos sensores de forma dois a dois. Assim, a partir de quatro sensores que irão fazer as coletas de intensidade luminosa do ambiente, dois motores serão acionados com cada um responsável por um

eixo, e dessa forma posicionar a placa. Contudo, terá um motor em cada eixo (totalizando dois eixos), e cada motor é responsável por cada eixo de posicionamento.

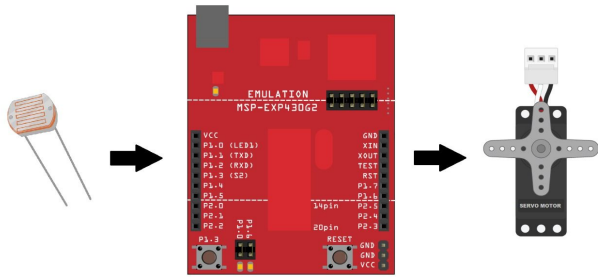


Figura 4 - Esquemático de Hardware do seguidor solar (da esquerda para a direita: sensores LDR, MPS430, Motores Servo).

### 2.1.1 Estrutura

A estrutura do projeto foi impressa por uma impressora 3D. Dessa forma, está apresentado aqui o CAD utilizado para a impressão das peças pelas figuras a seguir. Aqui será apresentado apenas algumas peças apenas, pois já sendo assim ilustrativo o trabalho realizado.

A estrutura foi pensada e adaptada de forma que a performance e aproveitamento do movimento dos motores fossem bem explorados. Esta também contém o suporte para a placa e local de encaixe para os motores utilizados no trabalho.

Assim, a estrutura possui os encaixes para os motores, e a placa, além das engrenagens para a rotação dos dois eixos do motor. Para a colocação e separação dos LDR's, usou-se uma coluna apresentada na figura 8.

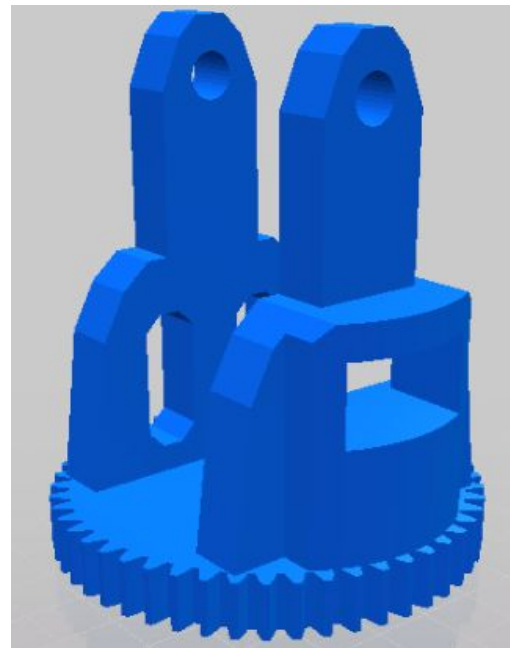


Figura 5 - CAD do mecanismo de rotação horizontal

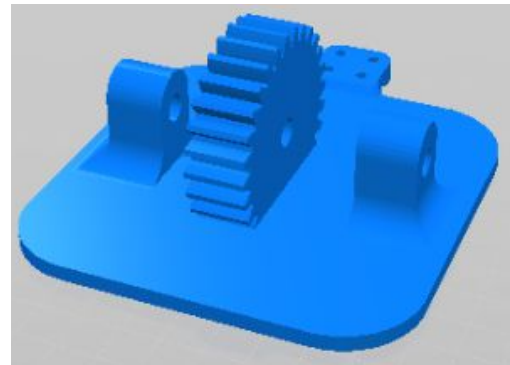


Figura 6 - CAD do suporte do painel solar e LDR

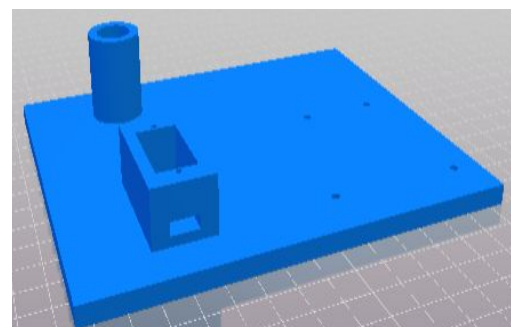


Figura 7 - CAD da base da estrutura

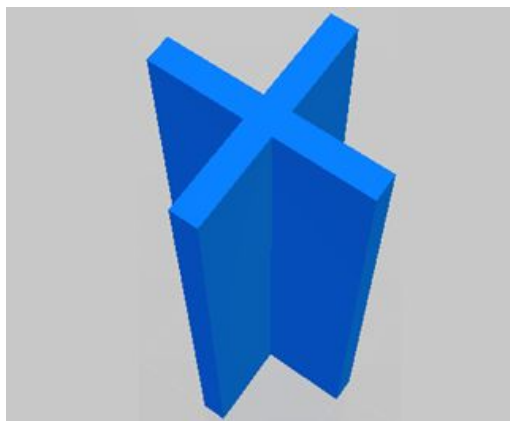


Figura 8 - CAD do divisor de LDRs

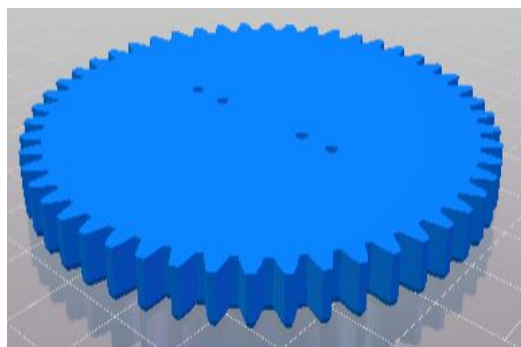


Figura 9 - CAD da engrenagem de movimentação horizontal

A estrutura montada permite movimentar o painel solar e os LDRs por meio da combinação da rotação de 2 servos, de modo que se consiga um movimento que cubra toda a área em que é possível de se ter uma maior incidência de luminosidade.

## 2.2 Descrição de Software

Cada LDR é no circuito funciona como um divisor de tensão ao ser montado com um outro resistor. A saída deste divisor de tensão é atribuída a um pino do microcontrolador e então variáveis serão atribuídas para guardar o valor de cada um dos quatro LDR's.

Para acionar o microcontrolador, são utilizados dois conjuntos com dois LDR's cada um. Um conjunto controla o movimento azimuthal e outro conjunto controla o ângulo de declinação.

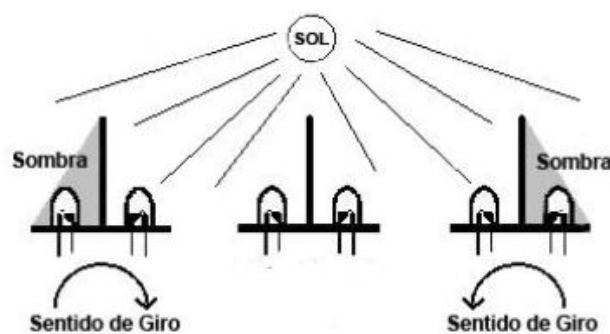


Figura 10 - Perfil "T" separando os LDR's de um conjunto

Os LDR's de cada conjunto são separados um do outro por meio de um perfil "T" conforme a Figura 10. O microcontrolador é acionado quando existe uma diferença entre as impedâncias dos LDR's. O microcontrolador envia um pulso para movimentação (PWM) ao motor quando nota essa disparidade e reposiciona o sistema até que a discrepância entre as impedâncias seja mínima.

Um dos conjuntos de LDR's compara a intensidade luminosa entre o lado direito e o lado esquerdo enquanto o outro conjunto compara os valores de um referencial em cima e outro abaixo conforme os referenciais da Figura 11.

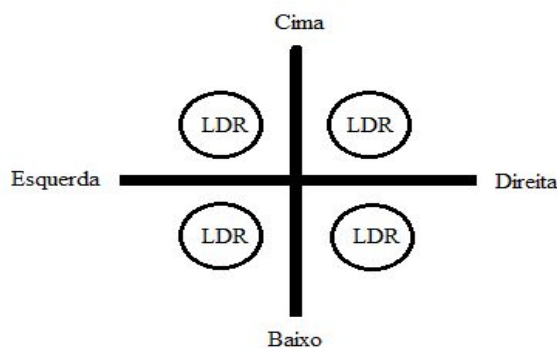


Figura 11 - Referencial de orientação utilizado

## 2.3 Protótipo

Para um primeiro protótipo funcional, foi utilizado o Arduino Uno pois assim é possível utilizar o Energia (equivalência do Arduino para o MSP430).

O sistema foi montado e testado conforme o esquemático da Figura 12 utilizando 4 LDR's, dois servo motores SG90, 4 resistores de 10K ohms e um Arduino Uno. Além disso, para validação do teste, o código compilou também na IDE Energia.

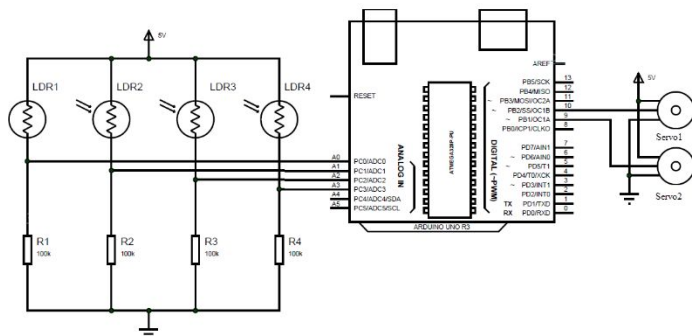


Figura 12 - Esquemático de teste do protótipo

A partir do código de teste do protótipo (Anexo 1), é possível ver que os dados dos divisores de tensão dos LDR's são entradas de 4 pinos do Arduino onde seus valores são armazenados analogicamente. Também são criadas duas variáveis para controlar os servos motores.

O loop (linha 35) utiliza das variáveis que armazenam os valores dos LDR's de acordo com a incidência para fazer comparações entre os dois LDR's de cada conjunto. No primeiro conjunto, é comparado a incidência entre os lados direito e esquerdo (observado no primeiro if na linha 45). Enquanto o segundo conjunto compara os valores de incidência entre a parte de cima e a parte de baixo (observado no segundo if na linha 59).

Ainda dentro do loop, o servo R1 é controlado a partir dos dados do primeiro conjunto e o servo R2 é controlado com os dados do segundo conjunto. Após cada análise nos valores de incidência de luminosidade de cada conjunto os motores são movimentados até que a discrepância entre os valores analisados seja mínima

## 2.4 Descrição do código utilizado no MSP

A lógica de funcionamento dos LDR's para o controle dos motores conforme explicada na descrição de software foi validada no teste do protótipo.

Após o teste e validação do protótipo, as alterações foram feitas para que houvesse o devido funcionamento no MSP430, sendo o código compilado no *Code Composer Studio*.

Para analisar os valores vindos dos LDR's, foi utilizado o ADC10AE0 (conversor analógico\digital de até 10 bits) que recebe os dados dos quatro pinos de entrada (SENS\_ESQUERDA, SENS\_DIREITA, SENS\_BAIXO, SENS\_CIMA)

Os dados dos sensores, após conversão digital são atribuídas aos bit 0, bit 1, bit 2 e bit 3.

No início da função main (onde são definidos os detalhes dos pwm dos servos) é possível reparar que o watchdog time foi desligado enquanto TA0CTL1 e TA1CTL1 setam e, ou, resetam o TACCR0 e TACCR1 respectivamente.

O ConfigureAdc() configura a maneira que a conversão analógico digital deve funcionar, a princípio, tem um comando de espera enquanto a conversão é feita, em seguida vem a função que incrementa os servos mecanismos possibilitando seu movimento onde os valores de TACCR0 e TACCR1 são incrementados. Por fim, o código conta com uma função de interrupção do movimento dos motores.

O esquemático de montagem feito com raciocínio análogo ao esquemático da Figura 12, está de acordo com o a Figura 13.

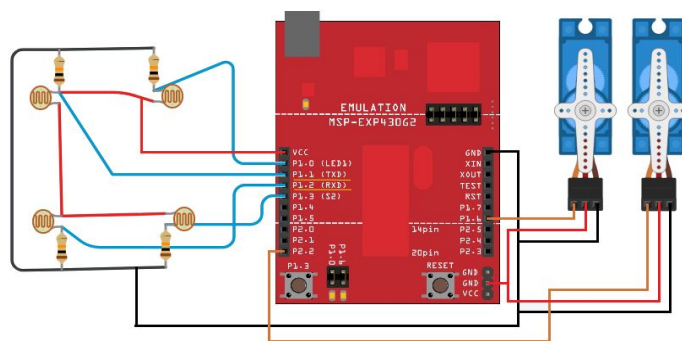


Figura 13 - Esquemático de montagem definitivo

## 3. Referências

- [1] Manual de engenharia para sistemas fotovoltaicos. Rio de Janeiro: CEPREL - CRESESB. Março de 2014.
- [2] Roper, L. David (24 de agosto de 2011). World Photovoltaic Energy.
- [3] Água quente solar - Caracterização do Solar Térmico em Portugal 2008. Agência para a Energia.
- [4] Disponível em



<http://www.portalsolar.com.br/blog-solar/painel-solar/seguidor-solar---tracker-vantagens-e-desvantagens-parte-1.html>

[5] Disponível em <http://www.brighthub.com/environment/renewable-energy/articles/76226.aspx>.

[6] GOETZBERGER, A.; HEBLING, C.; SCHOCK, H.-W. Photovoltaic materials, history, status and outlook. Materials Science and Engineering R, v. 40, p. 1-46, 2003.

[7] GREEN, M. A. Photovoltaics: technology overview. Energy Policy, v. 28, p. 989-998, 2000.

[8] OLIVEIRA, Fernanda P. Monografia: Célula Fotovoltaica de Silício. São Paulo: USP, 2010

## 4. Anexos

### 4.1. Código do projeto (Feito no Code Composer Studio):

```
#include "msp430.h"
#define ADC_CH 4
unsigned int samples[ADC_CH];

#define SENS_ESQUERDA BIT0
#define SENS_DIREITA BIT1
#define SENS_CIMA BIT2
#define SENS_BAIXO BIT3

#define CLOCK      1000000
#define PWM_F      46 // frequência do pwm
#define SERVO       30 //quantidade máxima de passos em graus

unsigned int PWM    = (CLOCK/ PWM_F);
unsigned int PWM_Duty    = 0;
int i ;
int count ;
int count2 ;

void ConfigureAdc(void){

ADC10CTL1 = INCH_3 | ADC10DIV_0 | CONSEQ_3 | SHS_0;
ADC10CTL0 = SREF_0 | ADC10SHT_2 | MSC | ADC10ON | ADC10IE;

ADC10AE0 = SENS_ESQUERDA + SENS_DIREITA + SENS_CIMA + SENS_BAIXO ;
ADC10DTC1 = ADC_CH;
}

void main(void) {

WDTCTL = WDTPW | WDTHOLD;
TA1CCTL1 = OUTMOD_7 ;
TA0CCTL1 = OUTMOD_7 ;
TA1CTL = TASSEL_2 + MC_1 ;
TA0CTL = TASSEL_2 + MC_1 ;
TA1CCR0 = PWM-1; // periodo do pwm
TA0CCR0 = PWM-1 ;
TA1CCR1 = 0 ;duty cicle
TA0CCR1 = 0 ;

P1DIR = 0;
ISEL = 0;
IOUT = 0;

IREN |= (SENS_ESQUERDA|SENS_DIREITA|SENS_BAIXO|SENS_CIMA);

P1DIR |= BIT6 ;
P2DIR |= BIT2 ;
```

```
P1SEL  |= BIT6 ;
P2SEL  |= BIT2 ;
```

```
ConfigureAdc();
```

```
__enable_interrupt();
```

```
while (1) {
    __delay_cycles(1000);
    ADC10CTL0 &= ~ENC;
    while (ADC10CTL1 & BUSY);
    ADC10SA = (unsigned int)samples;
    ADC10CTL0 |= ENC + ADC10SC;

    __bis_SR_register(CPUOFF + GIE);

    for (i = 0; i < SERVO; i++) {
        TA1CCR1 = count2 ;
        TA0CCR1 = count ;
        __delay_cycles(20000);
        TA1CCR1 = count2 ;
        TA0CCR1 = count ;
        __delay_cycles(20000);
    }
}
```

```
#pragma vector = ADC10_VECTOR
```

```
__interrupt void ADC10_ISR (void){
```

```
if (samples[0] < samples[1]){
    if(samples[1]> 550){
        count = 850;
    }else {
        count = 1350;
    } } else if ((samples[0] + samples[1])/2 < 500) {
        count = 1350;
    } else {
        if(samples[0]>550){
            count = 1850;
        }else {
            count = 1350;
        }
    }
if (samples[2] < samples[3]) {
    if(samples[3]> 550){
        count2 =850;
    }else {
        count2 = 1150;
    }
    } else if ((samples[2] + samples[3])/2 < 500) {
        count2 = 1150;
    } else {
        if(samples[2]>550){
            count2 = 1850;
        }else {
            count2 = 1150;
        }
    }
}
```

```
__bic_SR_register_on_exit(CPUOFF);
}
```

## 4.2. Código de teste do protótipo no Arduino e no MSP430 (Utilizando o Energia):

```
#include <Servo.h>
//Inclui biblioteca de servos

Servo servoR1;
// Cria variaveis para controlar servos
Servo servoR2;
// Cria variaveis para controlar servos

int ldr_E = A2; // Ldr da esquerda
int ldr_D = A3; // Ldr da direita
int ldr_C = A0; // Ldr de cima
int ldr_B = A1; // Ldr de baixo

// Posicao inicial dos servos
int valR1 = 90;
int valR2 = 135;

//Variaveis para guardar valores
//analogico dos pinos
int val_E;
int val_D;
int val_C;
int val_B;

// Tempo de delay dos servos
int delay_movimento= 100;

void setup(){
// Atribui pino aos servos R1 e R2
servoR1.attach(10);
servoR2.attach(9); }

void loop(){
//leitura analógica do ldr de acordo
// com a incidência solar
val_E = analogRead(ldr_E);
val_D = analogRead(ldr_D);
val_C = analogRead(ldr_C);
val_B = analogRead(ldr_B);

//comparação dos ldr para estabilidade
if (val_E - val_D > 2 || val_E - val_D < -2)

{   if (val_E > val_D && valR1 > 0)
    {   valR1--;   }
    if (val_D > val_E && valR1 < 180)
    {   valR1++;   } }

//comparação dos ldr para estabilidade
if (val_C - val_B > 2 || val_C - val_B < -2)
{
    if (val_C > val_B && valR2 > 90)
    {
        valR2--;
    }
    if (val_B > val_C && valR2 < 180)
    {
        valR2++;   } }

//posição de acordo com o valor calculado
servoR1.write(valR1);
servoR2.write(valR2);

// Espera o servo se mover até a posicao
delay(delay_movimento);
}
```